

# Генерация неклассических состояний света в бозе-эйнштейновском конденсате в условиях электромагнитной индуцированной прозрачности

А. В. Прохоров, А. П. Алоджанц, С. М. Аракелян

Владимирский государственный университет<sup>1)</sup>, 600000 Владимир, Россия

Поступила в редакцию 27 октября 2004 г.

Развита квантовая теория взаимодействия бозе-конденсата атомов с внешними оптическими полями для случая двухлучевой  $\Lambda$ -схемы и при условиях, близких к резонансным. Получены режимы, когда коэффициенты керровской нелинейности и нелинейного поглощения достигают гигантских значений и даже становятся отрицательными, что определяет эффект нелинейной индуцированной прозрачности. Показана принципиальная возможность эффективной генерации квадратурно-сжатого света при условии нелинейной компенсации оптических потерь.

PACS: 32.80.-t, 42.50.Gy, 42.65.-k

В последнее время заметно возрос интерес к исследованию эффектов электромагнитной индуцированной прозрачности (ЭИП) [1, 2]. Суть его заключается в распространении пробного импульса без затухания, с сохранением формы огибающей в трехуровневой атомной среде с инверсией населенностей, создаваемой оптической накачкой. Принципиальным свойством данного эффекта является значительное, в работе [1] – до 17 м/с, замедление групповой скорости пробного импульса в условиях распространения “темных” и “светлых” поляритонов. С практической точки зрения, такое поведение атомно-оптической системы, обладающей памятью, можно использовать для целей обработки и передачи квантовой информации. Вместе с тем, сильные квантовые корреляции поляритонов могут приводить к генерации неклассических перепутанных (entangled) атомно-оптических состояний [3, 4]. Принципиальная возможность генерации гигантских значений нелинейности в режиме  $\Lambda$ -взаимодействия с использованием когерентных сред была экспериментально продемонстрирована в работах [5].

В данной работе решается задача о взаимодействии трехуровневого конденсата атомов с внешними квантовыми световыми полями в условиях ЭИП. При этом нами рассматриваются эффекты как линейной (в приближении Джейнса–Камингса), так и нелинейной (керровской) поляризаций атомов конденсата.

Оптические свойства атомного бозе-конденсата при его  $\Lambda$ -взаимодействии со световым полем накачки частоты  $\omega_c$  и пробным полем  $\omega_p$  (см. рис.1) с

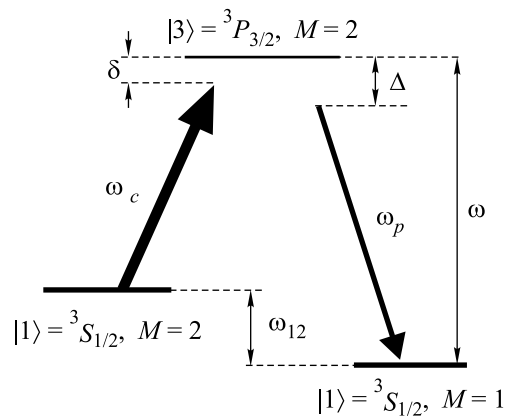


Рис.1.  $\Lambda$ -схема взаимодействия на примере энергетических уровней атома  $^{23}\text{Na}$

учетом нелинейной поляризации атомов могут быть описаны через его показатель преломления  $n = n_0 + n_2|A_p|^2$  и коэффициент поглощения  $\alpha = \alpha_0 + \alpha_2|A_p|^2$ , где коэффициенты  $n_0, \alpha_0, n_2, \alpha_2$  имеют вид

$$n_0 = 1 + \frac{1}{2}\text{Re}(\chi_{AT}^{(1)}), \quad \alpha_0 = \beta_p\text{Im}(\chi_{AT}^{(1)}), \quad (1a)$$

$$n_2 = \frac{3}{8}\text{Re}(\chi_{AT}^{(3)}), \quad \alpha_2 = \frac{3}{4}\beta_p\text{Im}(\chi_{AT}^{(3)}). \quad (1b)$$

Здесь  $\chi_{AT}^{(1,3)}$  – линейная и керровская резонансные восприимчивости атомного конденсата. Используя стандартный формализм матрицы плотности, а также соотношение для индуцированной в атомной среде поляризации  $P = N\mu_{32}\bar{\rho}_{32}$  [6, 7] ( $N$  – атомная концентрация,  $\bar{\rho}_{32}$  – матричный элемент для перехода  $|3\rangle \rightarrow |2\rangle$ ,  $\mu_{32}$  – соответствующий дипольный мо-

<sup>1)</sup>e-mail: laser@vpti.vladimir.ru

мент), получим следующие выражения для резонансных восприимчивостей – сравни с [1, 5]:

$$\chi_{AT}^{(1)} = \frac{N|\mu_{32}|^2}{\hbar\varepsilon_0} \frac{1}{\Gamma}, \quad (2)$$

$$\chi_{AT}^{(3)} = \frac{2i}{3} \frac{N|\mu_{32}|^4}{\varepsilon_0\hbar^3} \frac{\Gamma^* - \Gamma}{\Gamma|\Gamma|^2} \left( \frac{1}{\gamma_{\text{opt}}} + \frac{1}{\gamma_{\text{mag}}} \right),$$

где  $\Gamma = \Delta - i\gamma_{\text{opt}} + |g_1|^2/(i\gamma_{\text{mag}} - \Delta)$  и введены обозначения:  $\gamma_{\text{opt}} = \gamma_{32} + \gamma_{31}$ ,  $\gamma_{\text{mag}} = \gamma_{12}$ ,  $\Delta = \omega - \omega_p$ ,  $\delta = \omega - \omega_{12} - \omega_c$ . Здесь  $g_1 = |\mu_{31}|E_c/\hbar$  – частота Раби для перехода  $|1\rangle \rightarrow |3\rangle$ , индуцированного просветляющим полем  $\mathbf{E}_c$ ;  $\gamma_{mn}$  описывают процессы спонтанных переходов с соответствующих уровней и определяют естественную ширину линий излучения для холодных атомов в конденсате,  $m, n = 1, 2, 3$ .

На рис.2 представлены зависимости нелинейных показателей преломления  $n_2$  и поглощения  $\alpha_2$  от частоты отстройки пробного поля  $\Delta$  в условиях  $\Lambda$ -

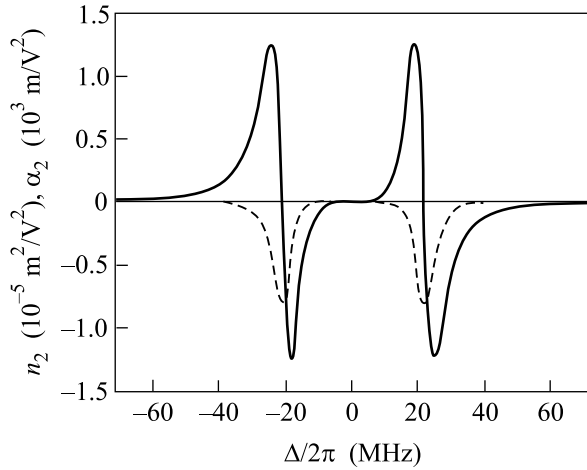


Рис.2. Частотные зависимости нелинейного показателя преломления  $n_2$  (сплошная линия) и нелинейного коэффициента поглощения  $\alpha_2$  (пунктир) для  $^{23}\text{Na}$ -конденсата при  $\Lambda$ -взаимодействии с внешними оптическими полями. Параметры конденсата:  $N = 3.3 \cdot 10^{12} \text{ см}^{-3}$ ,  $\gamma_{\text{opt}}/2\pi = 10.2 \text{ МГц}$ ,  $\gamma_{\text{mag}}/2\pi = 38.2 \text{ кГц}$ . Интенсивность просветляющего импульса  $I_c = 55 \text{ мВт/см}^2$

взаимодействия и при наличии сильного поля накачки  $\mathbf{E}_c$  с концентрацией атомов  $N = 3.3 \cdot 10^{12} \text{ см}^{-3}$  в соответствии с экспериментом [1]. При этом дипольный матричный элемент перехода  $|\mu_{32}|$  составляет величину  $22 \cdot 10^{-30} \text{ К}\cdot\text{м}$ , раби-частота  $g_1$  для просветляющего поля рассчитана для интенсивности  $I_c = 55 \text{ мВт/см}^2$  с использованием соотношения  $A_c = \sqrt{2I_c/c\varepsilon_0}$ ;  $g_1/2\pi = 21.5 \text{ МГц}$ . В отсутствие доплеровского уширения линий излучения в конденсате скорость  $\gamma_{mn}$  спонтанного распада атомов определяется

их временами релаксаций  $\tau_{mn} \approx 2\pi/\gamma_{mn}$ . Эти величины составляют  $\tau_{32} = 0.2 \text{ мкс}$ ,  $\gamma_{31}/2\pi = \gamma_{32}/2\pi = 5.1 \text{ МГц}$ , скорость распада на магнитных уровнях  $|1\rangle$  и  $|2\rangle$  соответствует  $\gamma_{12}/2\pi = 38.2 \text{ кГц}$  и времени релаксации  $\tau_{12} = 26 \text{ мкс} \cdot \text{см}$  [7].

Из рис.2 видно, что параметры  $n_2$  и  $\alpha_2$  могут принимать гигантские значения и быть отрицательными. Существование областей с  $n_2 < 0$  имеет важное практическое значение для задач генерации и управления параметрами неклассического света, тогда как присутствие на рис.2 отрицательного нелинейного поглощения,  $\alpha_2 < 0$ , ведет к смене режима линейного поглощения оптического излучения в бозе-газе режимом с эффективным усилением при достижении соответствующей пороговой интенсивности пробного поля. В случае, когда  $\alpha \equiv 0$ , поглощение света атомной средой отсутствует, что может быть охарактеризовано как эффект нелинейной ЭИП бозе-конденсата.

Таким образом, управление интенсивностью пробного поля  $I_p$ , а также частотой его отстройки от резонанса  $\Delta$  позволяет менять взаимное соотношение между относительными вкладами линейных и нелинейных эффектов при его распространении в конденсате, что приводит к реализации самых разнообразных режимов.

Рассмотрим квантовые свойства пробного поля и их влияние на эффект ЭИП. В адиабатическом приближении, когда режим населенностей для атомов конденсатных мод можно полагать установившимся, состояние атомной системы является заданным [2]. Данное приближение будет справедливым, если время релаксации на нижних уровнях схемы удовлетворяет условию  $\tau_{12} \geq \tau_d$  [2], где  $\tau_d = n_g(l/c)$  определяет время задержки импульса при его прохождении сквозь резонансную среду конденсата с групповым показателем преломления  $n_g = n + \omega_p(dn/d\omega_p)$ . В этом случае гамильтониан взаимодействия атомов конденсата и пробного поля может быть получен с использованием соответствующего матричного элемента перехода, умноженного на константу атомно-оптического взаимодействия:  $H_{\text{int}} = -(k_0/2)(\bar{\rho}_{32} + \bar{\rho}_{23})$ , где  $k_0 = \mu_{32}\sqrt{\omega/2\hbar\varepsilon_0V}$ ,  $V$  – характерный объем взаимодействия. С учетом нелинейных эффектов на кубичной восприимчивости  $\chi^{(3)}$  матричный элемент  $\bar{\rho}_{32}$  может быть разложен в ряд по частоте Раби пробного поля в виде  $\bar{\rho}_{32} \cong \bar{\rho}_{32}^{(1)}g_1 + \bar{\rho}_{32}^{(3)}|g_1|^2g_1$ . Окончательно, для гамильтониана взаимодействия имеем:

$$H_{\text{int}} = -\frac{k_0^2}{2}(\bar{\rho}_{32}^{(1)}a^+ + \bar{\rho}_{23}^{(1)}a) - \frac{k_0^4}{2}(\bar{\rho}_{32}^{(3)}(a^+)^2a + \bar{\rho}_{23}^{(3)}a^+(a)^2), \quad (3)$$

где  $a(a^+)$  – оператор уничтожения (рождения) фотонов пробного поля. Первое слагаемое в выражении (3) соответствует взаимодействию конденсата с пробным полем в рамках модели Джейнса–Камингса. Второе слагаемое в (3) определяется нелинейной поляризацией атомной системы.

Для описания поведения квантовых флуктуаций пробного поля воспользуемся здесь методом Боголюбова, который широко применяется в статистической физике как при исследовании квазичастиц в мезоскопических квантовых системах [8], так и квантовой оптике для описания спонтанного параметрического рассеяния света в приближении заданного классического поля накачки [6]. В настоящей работе применение данного метода для анализа квантовых характеристик пробного поля фактически уже обусловлено адиабатическим приближением, когда свойства как атомной системы, так и просветляющего поля (накачки) являются заданными – см. (3) и сравни также с [2]. Представим оператор уничтожения фотона пробного поля в виде  $a = f + \Delta a$ , где  $f$  определяет классическую амплитуду ( $\langle a \rangle = f$ ), а оператор  $\Delta a \equiv c = a - \langle a \rangle$  – малую флуктуационную часть поля, так что  $\langle \Delta a \rangle \equiv \langle c \rangle = 0$ . С помощью выражения (3) в представлении Гейзенберга приходим к системе уравнений для среднего поля  $f$  и оператора квантовых шумов  $c$ :

$$\frac{df}{dt} = i \left( \frac{k_1}{2} + \frac{k_2^*}{2} f^2 + k_2 |f|^2 \right), \quad \frac{dc}{dt} = i(\theta c + \eta c^+), \quad (4)$$

где  $k_1 = k_0^2 \rho_{32}^{(1)}$  и  $k_2 = k_0^4 \rho_{32}^{(3)}$  – коэффициенты, определяющие линейную и нелинейную перекачку энергии в системе, соответственно;  $\theta = k_2 f^* + k_2^* f$  и  $\eta = k_2 f$ .

Второе уравнение (4) является линеаризованным по оператору малых флуктуаций  $c$ . Оно справедливо при условии  $\langle c^+ c \rangle \ll |f|^2$ , и его решение может быть представлено в виде (ср. с [6, 8])

$$c = \mu c_0 + \nu c_0^+, \quad (5a)$$

$$\mu = \cos(\sqrt{\xi} t) + i \frac{\theta}{\xi} \sin(\sqrt{\xi} t), \quad \nu = i \frac{\eta}{\xi} \sin(\sqrt{\xi} t), \quad (5b)$$

где  $\xi = k_2^2 (f^*)^2 + (k_2^*)^2 f^2 + |k_2|^2 |f|^2$ ,  $c_0 \equiv c(t)|_{t=0}$ . Операторы уничтожения  $c$  и рождения  $c^+$  квазичастиц удовлетворяют обычным коммутационным соотношениям  $[c, c^+] = |\mu|^2 - |\nu|^2 = 1$  и характеризуют малые квантовые возмущения пробного поля – “светлые” поляритоны, распространяющиеся в атомной среде в условиях ЭИП. При этом среднее число фотонов пробного поля  $N_f = \langle a^+ a \rangle = |f|^2 + \langle c^+ c \rangle$  может меняться как за счет изменения интенсивности

среднего поля, так и в ходе параметрического усиления квантовых шумов (квазичастиц), что становится возможным при  $\xi < 0$ .

На рис.3 представлена эволюция среднего числа фотонов в пробном импульсе  $N_f$  от времени при различных начальных значениях числа фотонов на входе

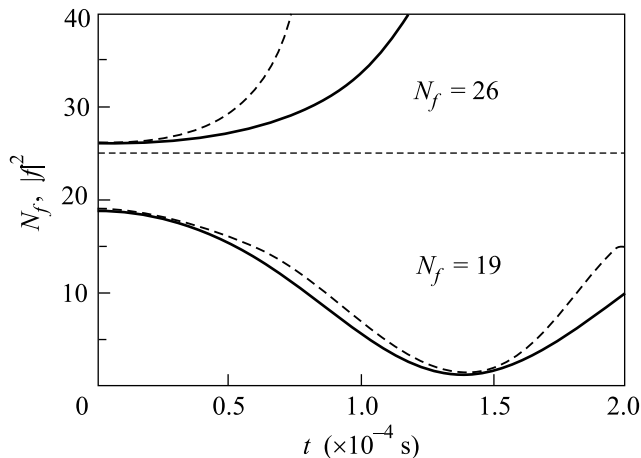


Рис.3. Зависимости числа фотонов пробного поля  $N_f$  от времени в приближении среднего поля (сплошные кривые для  $|f|^2$ ), а также с учетом квантовых флуктуаций (штриховые кривые). Параметры системы те же, что и к рис.2; значение частоты отстройки  $\Delta/2\pi = 2.66$  МГц. Начальное число фотонов  $N_f = 19$  указано около кривых

де конденсата. Частота отстройки пробного импульса с продолжительностью в 1 мкс выбрана близкой к резонансу и составляет  $\Delta/2\pi = 2.66$  МГц; при этом коэффициенты  $\alpha_0 > 0$  и  $\alpha_2 < 0$  имеют разные знаки и становится возможным проследить конкуренцию между линейным ослаблением и нелинейным усилением пробного поля в рассматриваемой системе (см. рис.2). При этом пороговое значение интенсивности пробного поля  $N_f$  составляет 25 фотонов. Рис.3 отражает два принципиально различных режима эволюции среднего числа фотонов в пробном импульсе: при начальном среднем числе фотонов  $N_f = |f|^2 = 26$  происходит превышение над порогом нелинейного усиления и наблюдается параметрический рост интенсивности пробного поля, тогда как при  $N_f = |f|^2 = 19$  порог усиления еще не достигнут и в системе идет процесс перекачки энергии между полем и средой конденсата в режиме конкуренции линейных/нелинейных эффектов. Каждый режим представлен двумя кривыми, одна из которых соответствует динамике только среднего поля  $|f|^2$ , другая – с учетом квантовых шумов. Видно, что в режиме ниже порогового относительное число  $\langle \hat{c}^+ \hat{c} \rangle / |f|^2$  всегда остается малой величиной, тогда как режим

усиления среднего поля ведет к его быстрому росту, что соответствует параметрическому усилению квантовых шумов. Поскольку  $\langle c^+c \rangle = |\nu|^2$ , этот последний случай как раз соответствует смене знака у выражения для  $\xi$  и гиперболическому росту для  $\nu$ , см. (5). Следует, однако, иметь в виду, что даже в случае, когда начальная интенсивность пробного поля лежит ниже пороговой, присутствие квантовых шумов в системе может приводить к смене режима, начиная с некоторого момента времени – усилению пробного поля. Важно отметить, что рост среднего числа фотонов пробного поля на рис.3 ограничен сверху интенсивностью накачки, которую мы полагаем классической и неистощимой. Таким образом, в рамках рассматриваемого в работе подхода должно выполняться условие

$$\langle c^+c \rangle \ll |f|^2 \ll N_c, \quad (6)$$

где  $N_c$  – число фотонов в просветляющем поле – накачке.

Определим эрмитовы квадратуры пробного поля  $Q = a + a^+$ ,  $P = i(a^+ - a)$ . С учетом выражений (5) их дисперсии могут быть представлены в виде  $\sigma_Q^2 = |\mu + \nu^*|^2$ ,  $\sigma_P^2 = |\mu - \nu^*|^2$ . На рис.4 изображены зависимости  $\sigma_Q^2$  и  $\sigma_P^2$  для пробного поля при  $N_f = 26$ .

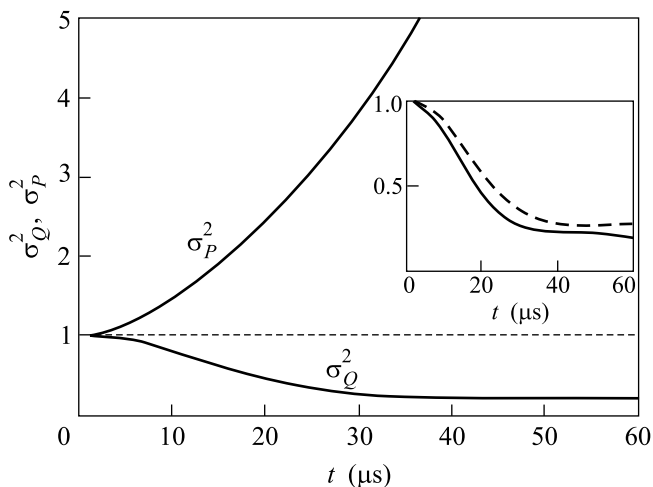


Рис.4. Зависимости для дисперсий квадратур  $\sigma_Q^2$  и  $\sigma_P^2$  от времени. Параметры системы те же, что и на рис.3, начальное число фотонов  $N_f = 26$ . На вставке: зависимости  $\sigma_Q^2$  от времени при  $N_f = 26$  (сплошная кривая),  $N_f = 19$  (штриховая)

Генерация квадратурно-сжатого света имеет место в случае, когда одна из величин,  $\sigma_Q^2$  либо  $\sigma_P^2$ , становится меньше значения дисперсии  $\sigma_{Q,P}^2 = 1$ , что соответствует когерентному состоянию пробного поля на входе в атомную систему. При этом эффективное подавление квантовых флуктуаций квадратуры

$Q$  может быть экспериментально наблюденно на характерном временном масштабе  $\tau_{sq} \approx 40$  мкс. Так, например, если между временем задержки импульса  $\tau_d$  и временем сжатия флуктуаций выполняется соотношение  $\tau_{sq} \cong \tau_d$ , то оптимальная длина активной зоны конденсата  $l_{opt}$  составляет 7.7 см, что соответствует величине  $n_g = 1.56 \cdot 10^5$ , а также режиму “медленного” света для пробного импульса с групповой скоростью порядка 2000 м/с. При этом для эффективного сжатия флуктуаций пробного импульса длительности  $\tau_p$  необходимо также выполнение условия  $\tau_{sq} > \tau_p$ , что является справедливым для микросекундного импульса. Наконец, отметим, что для зависимостей на рис.4 условия (6) выполняются на всем временном интервале. На вставке к рис.4 представлены результаты квадратурного сжатия для различного числа фотонов пробного поля на входе конденсата. Видно, что режим усиления пробного поля более предпочтителен для эффективного сжатия по сравнению с конкурентными режимами, как для кривой 1 на рис.3.

В линейном случае, когда  $\bar{\rho}_{23}^{(3)} = \bar{\rho}_{32}^{(3)} \equiv 0$ , параметр  $k_2 = 0$ , так что дисперсии квадратур  $\sigma_{Q,P}^2$  остаются на начальном уровне флуктуаций когерентного поля. При этом зависимость числа фотонов  $N_f$  от времени не критична по отношению к начальному числу фотонов на входе: в отсутствие конкуренции линейных/нелинейных эффектов перекачки энергии в системе наблюдается либо поглощение, либо усиление импульса в зависимости от величины отстройки  $\Delta$ .

В заключение заметим, что достижение оптимальной длины  $l_{opt}$  атомно-оптического взаимодействия возможно, например, с использованием сигарообразных конденсатов, полученных в сильно асимметричных ловушках. Не менее интересной и перспективной в практическом отношении является также возможность использования оптических волокон, подвергнутых допированию резонансными атомами, либо газонаполненных волокон конденсатом атомов, с реализацией  $\Lambda$ -взаимодействия для оптических импульсов в них. Такой подход позволяет, с одной стороны, резко увеличить нелинейные характеристики световода, что является наиболее важным моментом в экспериментах со сжатым светом, а с другой, путем соответствующей настройки схемы, добиться режима, когда вынужденные оптические потери сведены к минимуму.

Авторы благодарны А.С. Зиброву, Г.Лейксу и Н.В. Корольковой за полезные обсуждения.

Работа выполнена при поддержке Российского фонда фундаментальных исследований (грант # 01-

02-17478), а также НТП Минпромнауки и Минобразования РФ. А. П. Алоджанц благодарен фонду некоммерческих программ “Династия” за финансовую поддержку своей научной деятельности.

1. L. N. Hau, S. E. Harris, Z. Dutton, and C. H. Behroozi, *Lett. Nature* **397**, 594 (1999).
2. M. D. Lukin, *Rev. of Mod. Phys.* **75**, 457 (2003).
3. А. В. Прохоров, А. П. Алоджанц, С. М. Аракелян, *Оптика и спектроскопия* **94**, №1, 71 (2003).
4. C. H. van der Wal, M. D. Eisaman, A. Andre et.al., *Science* **301**, 196 (2003).
5. H. Wang, D. Goorskey, and M. Xiao, *Phys. Rev. Lett.* **87**, 073601 (2001); H. Kang and Y. Zhu, *Phys. Rev. Lett.* **91**, 093601 (2003).
6. И. Р. Шен, *Принципы нелинейной оптики*, М.: Наука, 1989.
7. E. Wolf, in *Progress In Optics*, Ed. Elsevier Science B. V., Netherlands, Amsterdam **43**, 512 (2002).
8. Е. М. Лифшиц, Л. П. Питаевский, *Статистическая физика*, т.9, часть 2, М.: Физматлит, 2001.